

التوصية 2- P.682 ITU-R

معطيات الانتشار المطلوبة لتصميم أنظمة الاتصالات المتنقلة للطيران أرض-فضاء

(المسألة 207/3 ITU-R)

(2007-1992-1990)

مجال التطبيق

تشرح هذه التوصية آثار الانتشار ذات الأهمية الخاصة للأنظمة المتنقلة الساتلية للطيران. وتعزّز التوصية انحطاطات الانتشار الأيونوسفيرية والتربوبوسفيرية وتحث على توصيات قطاع الاتصالات الراديوية التي تقدم توجيهات بشأن هذه الآثار. كما ترد مخاوف للتبؤ بآثار الانتشار التي تنجم عن تعدد مسیر الإشارة والانتشار من سطح الأرض.

إن جمعية الاتصالات الراديوية للاتحاد الدولي للاتصالات،

إذ تتضمن في اعتبارها

- أ) أنه للتخطيط المناسب للأنظمة المتنقلة للطيران أرض-فضاء من الضروري توفير معطيات انتشار وطائق تبؤ مناسبة؛
- ب) أن طرائق التوصية ITU-R P.618 يوصى بها للتخطيط أنظمة الاتصالات أرض-فضاء؛
- ج) أن هناك حاجة إلى تطوير المزيد من طرائق التبؤ لتطبيقات خاصة بالأنظمة الساتلية المتنقلة للطيران لإعطاء دقة ملائمة لكل ظروف التشغيل؛
- د) أن هناك مع ذلك طرائق تضمن دقة كافية للكثير من التطبيقات،

توصي

- 1 باعتماد طرائق الواردة في الملحق 1 للاستعمال الحالي في تخطيط أنظمة الاتصالات المتنقلة للطيران أرض-فضاء، إضافة إلى الطرائق الموصى بها في التوصية ITU-R P.618.

الملحق 1

المقدمة

1

تحتفل آثار الانتشار في الخدمة المتنقلة للطيران الساتلية عن تلك الموجودة في الخدمة الثابتة الساتلية والخدمات المتنقلة الساتلية الأخرى لأن:

- هوائيات صغيرة تُستعمل على متن الطائرات، وجسم الطائرة يمكن أن يؤثر في أدائها؛
- السرعة المرتفعة للطائرات تسبب تمددات دوبليرية واسعة؛
- مطارات الطائرات يجب أن تأوي مدى دينامياً واسعاً في الإرسال والاستقبال؛
- اعتبارات سلامة الطائرات تتطلب تكاملية عالية للاتصالات، مما يجعل حتى انحطاطات الانتشار قصيرة المدى مهمة جداً، ويجب الحفاظ على اعتمادية الاتصالات على الرغم من الانبعاجات المائلة والعمليات ثلاثية الأبعاد.

- يناقش هذا الملحق المعطيات والنماذج المطلوبة على وجه التحديد لتمييز الانحطاطات المسير، أي:
- الآثار التروبوسفيرية، بما فيها التوهين الغازي، والتوهين بالسحب والمطر، والتوهين بالضباب، والانكسار والتلاؤ؛
 - الآثار الأيونوسفيرية مثل التلاؤ؛
 - آثار الانعكاس السطحي (مسيرات متعددة)؛
 - الآثار البيئية (حركة الطائرة وحالة البحر ونط سطح الأرض).

يمكن أن تُشغل الأنظمة الساتلية المتنقلة للطيران على نطاق عالمي، بما في ذلك مسيرات الانتشار عند زوايا منخفضة الارتفاع. لقد تم إجراء عدة قياسات لمعلمات الانتشار عبر مسيرات متعددة فوق البر والبحر. في بعض الحالات، تُستعمل المحاكاة المخبرية لمقارنة المعطيات المقيدة والتحقق من المعلمات النموذجية. وتدرس الإشارة المستقبلة من حيث مكوناتها المحتملة: موجة مباشرة تخضع للآثار الجوية، وموجة منعكسة، عموماً تحتوي أساساً على مكونة متناهية.

هناك حالياً اهتمام باستعمال الترددات القروية من 1,5 GHz للأنظمة الساتلية المتنقلة للطيران. بما أن معظم التجارب أجريت في هذا النطاق، فإن المعطيات في هذه التوصية تنطبق أساساً على هذه الترددات. ومع نضج أنظمة الطيران، يتوقع أن يتم استعمال ترددات أخرى.

2 الآثار التروبوسفيرية

يمثل ارتفاع الهوائي معلمة مهمة فيما يخص الخدمات الطيرانية. يمكن تقدير التوهين التروبوسفيري بواسطة الطائق الوارد في التوصية ITU-R P.618.

يمكن أن تتأثر الإشارة المستقبلة بالانكسار واسع المدى والتلاؤات الناجمة عن الاضطراب الجوي على حد سواء. وتتحفظ هذه الآثار بالنسبة للطائرات عند ارتفاعات عالية.

3 الآثار الأيونوسفيرية

يناقش الآثار الأيونوسفيرية على المسيرات المائلة في التوصية ITU-R P.531. تكون هذه الظواهر مهمة لعدة مسيرات عند الترددات تحت حوالي 10 GHz، خاصة في حدود $\pm 15^\circ$ من خط الاستواء المغناطيسي الأرضي، وبنسبة أقل في حدود المناطق الشفقية والقلنسوات القطبية. وتبلغ الآثار الأيونوسفيرية ذروتها بالقرب من السوية القصوى للكلف الشمسي.

لن تنخفض الانحطاطات الناجمة عن الأيونوسفير بالنسبة لارتفاعات النمطية المستعملة بواسطة الطائرات. تتضمن التوصية ITU-R P.680 وصفاً موجزاً للآثار الأيونوسفيرية ذات الأهمية الخاصة للأنظمة الساتلية المتنقلة. بالنسبة لمعظم إشارات الاتصالات، من المحتمل أن يكون التلاؤ الأيونوسفيري هو أشد انحطاط. ويقدم الجدول 1 من التوصية ITU-R P.680 تقديرات لأقصى آثار أيونوسفيرية متوقعة عند ترددات تصل حتى 10 GHz لمسيرات عند زاوية ارتفاع 30° .

4 الخيو الناتج عن الانعكاس السطحي والانتشار

1.4 اعتبارات عامة

يختلف الخيو عبر مسيرات متعددة الناتج عن الانعكاسات السطحية للأنظمة الساتلية المتنقلة للطيران عن الخيو لأنظمة الساتلية المتنقلة الأخرى لأن سرعات وارتفاعات الطائرات أكبر بكثير من سرعات وارتفاعات منصات متقللة أخرى. يمكن تحليل خصائص الخيو لأنظمة الطيران بإجراءات شبيهة بإجراءات الأنظمة البحرية الموصوفة في التوصية ITU-R P.680، مع الاعتناء بأخذ كروية الأرض في الحسبان، مما يصبح ذا دلالة مع زيادة ارتفاع الهوائي فوق السطح العاكس.

2.4 الخبو الناتج عن انعكاسات سطح البحر

يمكن تحليل خصائص الخبو بالنسبة لأنظمة الطيران باتباع إجراءات مماثلة لتلك الخاصة بالأنظمة البحرية المشروحة في التوصية ITU-R P.680 مع إلإ عنابة كافية لکروية الأرض والتي يكون تأثيرها واضحًا مع زيادة ارتفاع الهوائي فوق السطح العاكس.

1.2.4 تأثير ارتفاع الهوائي وكسب الهوائي

توفر الطريقة البسيطة التالية، القائمة على نموذج نظري، تقديرات تقريرية للقدرة عبر مسارات متعددة أو عمق الخبو المناسب للتطبيقات الهندسية.

يتمثل الإجراء فيما يلي:

المدى المنطبق:

التردد: GHz 2-1

زاوية الارتفاع: $\theta_i \leq 3^\circ$ و $G(1,5\theta_i) \leq 10 \text{ dB}$

حيث $G(\theta)$ هي مخطط هوائي الفص الرئيسي المعطى بواسطة:

$$(1) \quad G(\theta) = -4 \times 10^{-4} (10^{G_m/10} - 1) \theta^2 \text{ dB}$$

حيث:

G_m : قيمة الكسب الأقصى للهوائي (dB)

θ_i : الزاوية المقيسية انطلاقاً من محور التسديد (بالدرجات).

الاستقطاب: الاستقطاب الدائري والأفقي؛ الاستقطاب العمودي $| \theta_i | \leq 8^\circ$

حالة البحر: ارتفاع الموجة من 1 إلى 3 أمتار (مكونة غير منسقة مطورة كلياً).

المرحلة 1: حساب زوايا تماس نقطة الانعكاس المرآوي، θ_{sp} ، والأفقي، θ_{hr} ، بواسطة:

$$(2a) \quad \theta_{sp} = 2 \gamma_{sp} + \theta_i \text{ درجات}$$

$$(2b) \quad \theta_{hr} = \cos^{-1} [R_e / (R_e + H_a)] \text{ درجات}$$

حيث:

$$H_a / \tan \theta_i = 10 \times 7,2 = \gamma_{sp}$$

$$R_e: \text{نصف قطر الأرض} = 6371 \text{ km}$$

$$H_a: \text{ارتفاع هوائي (km)}.$$

المرحلة 2: تحديد كسب الهوائي النسبي G في الاتجاه المتوسط بين النقطة المرآوية والأفق. يُحسب كسب الهوائي النسبي تقريرياً بواسطة المعادلة (1) حيث $G = \theta_i + (\theta_{sp} + \theta_{hr})/2$ (بالدرجات).

المرحلة 3: حساب معامل انعكاس فرينيل للبحر:

$$(3a) \quad R_H = \frac{\sin \theta_i - \sqrt{\eta} - \cos^2 \theta_i}{\sin \theta_i + \sqrt{\eta} - \cos^2 \theta_i} \quad (\text{استقطاب أفقي})$$

$$(3b) \quad R_V = \frac{\sin \theta_i - \sqrt{(\eta - \cos^2 \theta_i)/\eta^2}}{\sin \theta_i + \sqrt{(\eta - \cos^2 \theta_i)/\eta^2}}$$

$$(3c) \quad R_C = \frac{R_H + R_V}{2}$$

$$\eta = \epsilon_r(f) - j60 \lambda \sigma(f)$$

حيث:

$\epsilon_r(f)$: السماحية النسبية للسطح عند التردد f (من التوصية ITU-R P.527)

$\sigma(f)$: إ يصلالية (S/m) السطح عند التردد f (من التوصية ITU-R P.527)

λ : طول الموجة في الفضاء الحر (m).

المرحلة 4: حساب عامل التصحیح C_θ (dB):

$$(4) \quad C_\theta = \begin{cases} 0 & \text{for } \theta_{sp} \geq 7^\circ \\ \theta_{sp} - 7 / 2 & \text{for } \theta_{sp} < 7^\circ \end{cases}$$

المرحلة 5: حساب عامل التباعد D (dB) الناتج عن اخناء الأرض:

$$(5) \quad D = -10 \log \left[1 + \frac{2 \sin \gamma_{sp}}{\cos \theta_{sp} \sin (\gamma_{sp} + \theta_i)} \right]$$

المرحلة 6: متوسط القدرة غير المتماسكة للموجات المنعكسة من البحر بالنسبة للموجة المباشرة، P_r ، يعطى بواسطة:

$$(6) \quad P_r = G + R + C_\theta + D \quad \text{dB}$$

حيث:

$$|R_i| = 20 \log$$

مع R_i أو R_C أو R_V من المعادلات (3).

المرحلة 7: بافتراض توزيع ناكاغامي-رايس، يقدر عمق الخبو انطلاقاً من:

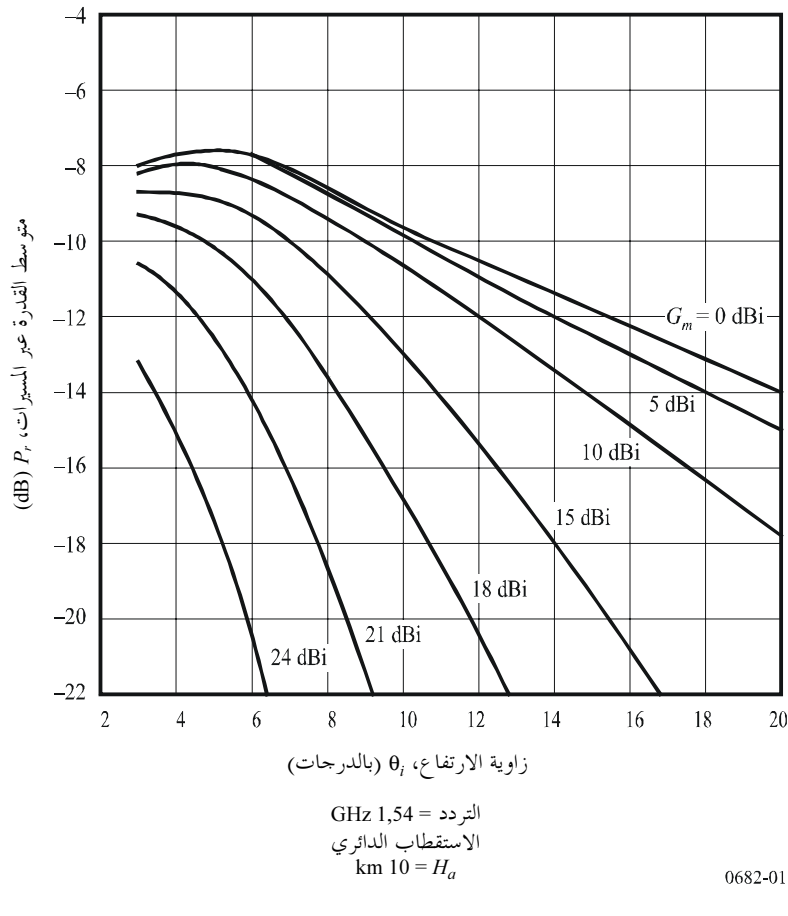
$$(7) \quad A + 10 \log \left(1 + 10^{P_r/10} \right)$$

حيث A هي الاتساع (dB) مقروءة من إحدائق الشكل 1 من التوصية ITU-R P.680.

يبين الشكل 1 أدناء متوسط القدرة عبر مسارات متعددة للمكونة غير المتماسكة المحصل عليها بواسطة الطريقة السابقة بدلاً من زاوية الارتفاع لمختلف الكسوب. بالمقارنة مع حالة الأنظمة المتنقلة البحرية الساتلية (الشكل 2 من التوصية ITU-R P.680)، يمكن رؤية أن قدرة الموجة المنعكسة P_r للأنظمة المتنقلة الساتلية للطيران تُخفي ما قدره 1 إلى 3 dB عند الزوايا منخفضة الارتفاع.

الشكل 1

متوسط القدرة عبر مسارات متعددة بالنسبة لقدرة الإشارة المباشرة بدلاً
زاوية الارتفاع لختلف كسب الهوائي



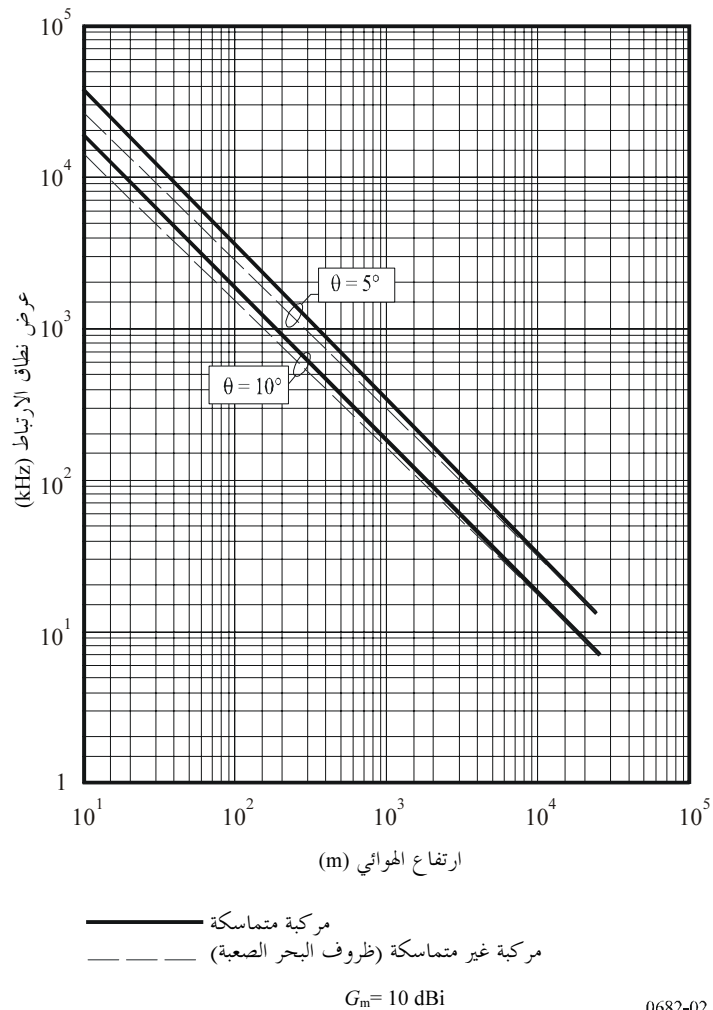
الملاحظة 1 – أظهرت الدراسات التحليلية والتجريبية أنه، بالنسبة للموجات ذات الاستقطاب الدائري عند أو بجوار 1,5 GHz وكسب هوائي 7 dB، يكون عمق الخبو عبر مسارات متعددة لظروف البحر الصعبة يساوي حوالي 8 إلى 11 dB لارتفاعات الطائرات المنخفضة والمتوسطة وحوالي 7 إلى 9 dB لارتفاعات العالية (فوق 2 km). ويكون عمق الخبو عبر مسارات متعددة أدنى بحوالي 2 dB بالنسبة ل垦سب هوائي 15 dB.

2.2.4 وقت الانتشار وعرض نطاق الارتباط

ت تكون الإشارة المستقبلة من الموجات المباشرة والمعكسة. وبما أن وقت انتشار المكونة المباشرة، فإن الإشارة المركبة المستقبلة يمكن أن تخضع لحالات خبو انتقائي للترددات. ينخفض ارتباط الإشارات مع زيادة تباعد الترددات. ويكون توقف الارتباط على كسب الهوائي صغيراً بالنسبة للكسب تحت 15 dB. وبين الشكل 2 العلاقة بين ارتفاع الهوائي وعرض نطاق الارتباط، المعرفة هنا كفصل الترددات الذي يكون معامل الارتباط الخاص به بين موجتين راديوبيتين يساوي $0,37(1/e)$. ينخفض عرض نطاق الارتباط مع زيادة ارتفاع الهوائي، فيصبح حوالي 10 إلى 20 kHz (وقت تأخر من 6 إلى 12 μs) هوائي عند ارتفاع 10 km. هكذا فإن الخبو بسبب تعدد المسارات لأنظمة الطيران يمكن أن تكون لها خصائص انتقائية للترددات.

الشكل 2

عرض نطاق الارتباط بدلالة ارتفاع الهوائي
لکسب هوائي يبلغ 10 dB



3.4 قياسات آثار المسيرات المتعددة الناتجة عن الانعكاس على البحر

تم إجراء تجارب عديدة في نطاق 1,5 إلى 1,6 GHz. ويرد تلخيص لهذه القياسات في هذا القسم لتطبيقها على تصميم الأنظمة.

يلخص الجدول 1 معلومات تعدد المسيرات الخيطية الملاحظة في القياسات، أضيفت إليها القيم الحصول عليها بواسطة نموذج تحليلي. وقد يزيد تأخرات الانتشار المدلول عليها في الجدول هي المظاهر الجاذبية الزئنية لقدرة الإشارة ذات القدرة المنتشرة الواسعة إلى المستقبل. وعرض نطاق الارتباط الوارد في الجدول 1 هو عرض نطاق ذو 3 dB لوظيفة الارتباط الذاتي للتردد (تحويل فورييه لطيف التأخرات). يُحدد التمدید بالأثر الدوبلري انطلاقاً من عرض الكثافة الطيفية للقدرة الدوبليرية. ووقت فك الارتباط هو العرض ذو 3 dB لوظيفة الارتباط الذاتي الزئني (تحويل فورييه العكسي للطيف الدوبليري).

الجدول 1

معلومات المسيرات المتعددة الحصول عليها انطلاقاً من القياسات الخيطية

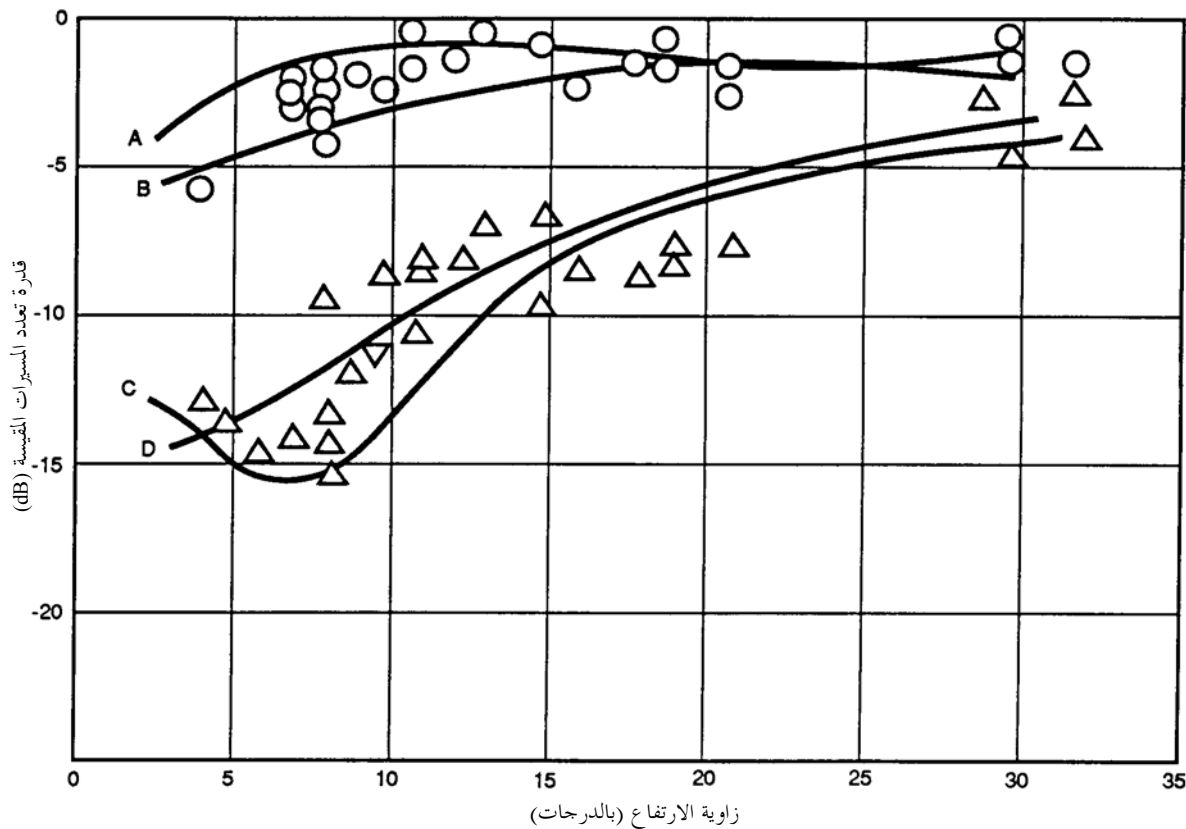
القيمة النمطية عند زاوية ارتفاع محددة			المدى المقيس	المعلومة
°30	°15	°8		
1- 3,5-	1- 9-	2,5- 14-	5,5- 0,5- إلى 15- 2,5-	قدرة تعدد المسيرات المقيسة (dB) الاستقطاب الأفقي الاستقطاب العمودي
0,8 3,2	0,8 3,2	0,6 2,8	1,8-0,25 5,6-2,2	تمديد تأخر الانبعاث ⁽¹⁾ (μs) قيمة 3 dB قيمة 10 dB
200	200	160	380-70	عرض نطاق الارتباط ⁽²⁾ (kHz) قيمة 3 dB
140 350	70 180	5 44 ⁽³⁾ 40	190-4 350-13	التمدد الدوبلري ⁽¹⁾ (Hz) في المستوى الرئيسي قيمة 3 dB قيمة 10 dB
190 470	110 280	79 180 ⁽³⁾ 80	240-79 560-180	في المستوى المنقاطع قيمة 3 dB قيمة 10 dB
2,2	3,2	7,5	10-1,3	وقت فك الارتباط ⁽²⁾ (ms) قيمة 3 dB

⁽¹⁾ ثانوي الأطراف.⁽²⁾ أحادي الطرف.⁽³⁾ معطيات من نموذج تعدد مسيرات لطائرة على ارتفاع 10 km وسرعة الطائرة تبلغ 1 000 km/h.

يعطي الشكل 3 قدرة تعدد المسيرات المقيسة لاستقطابي الهوائي الأفقي والعمودي لحالات البحر الماءة والهائحة بدلالة زاوية الارتفاع، مع التنبؤات المشتقة من نموذج بصريات مادي. يكون حالة البحر أهمية أقل لزوايا الارتفاع فوق حوالى 10°. وإن التوافق بين المعاملات المقيسة وتلك المتبناة بها للأرض المنبسطة للمساء المعدلة بواسطة عامل التباعد الناتج عن كروية الأرض، يزيد مع زيادة هدوء البحر.

الشكل 3

قدرة تعدد المسيرات المقيسة المحيطية إزاء زاوية الارتفاع عند 1,6 GHz



O : قياسات الاستقطاب الأفقي

Δ : قياسات الاستقطاب العمودي

المنحنيات A : التنبؤ بالاستقطاب الأفقي، بحر هادئ

B : التنبؤ بالاستقطاب الأفقي، بحر هائج

C : التنبؤ بالاستقطاب العمودي، بحر هادئ

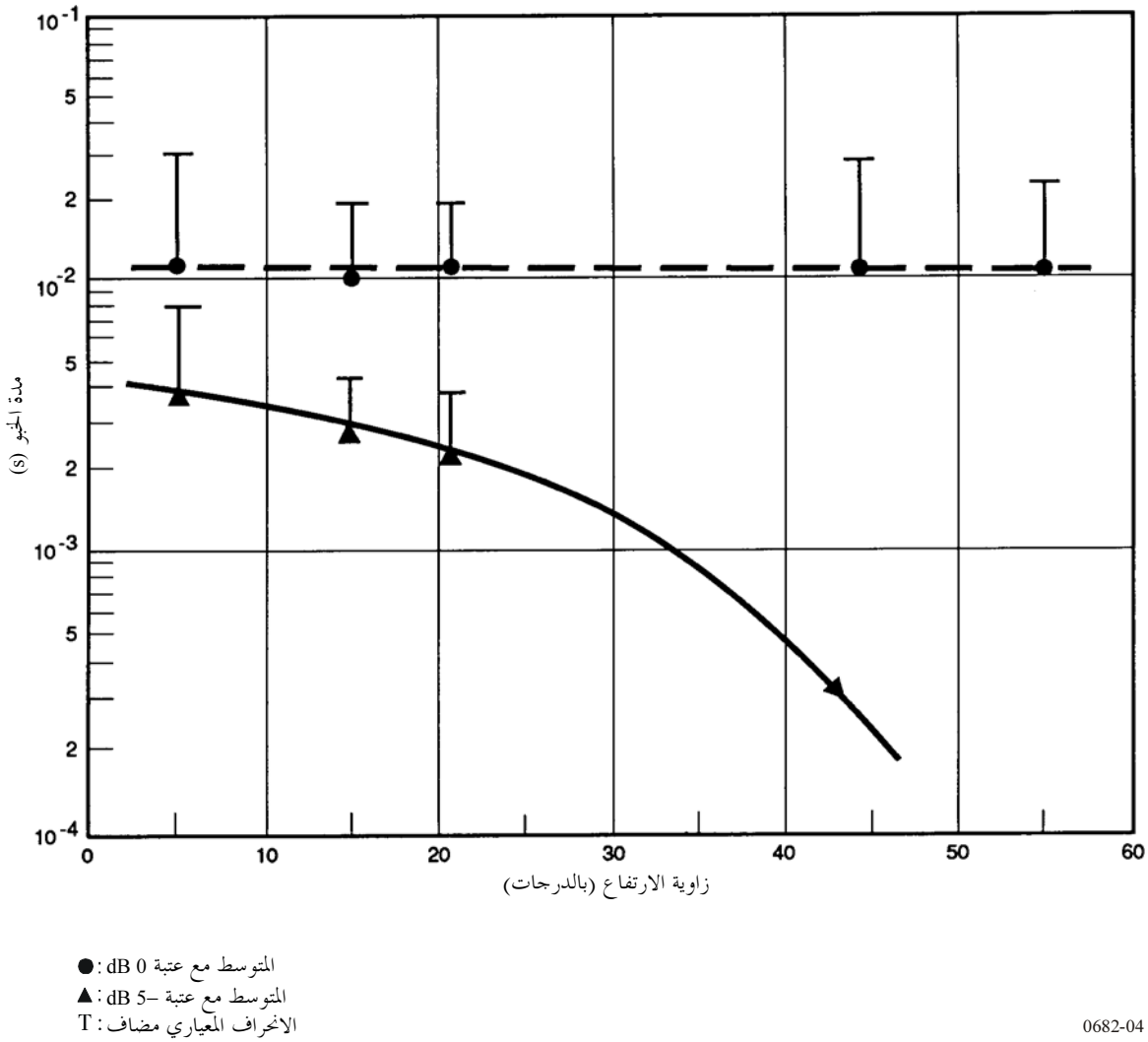
D : التنبؤ بالاستقطاب العمودي، بحر هائج

0682-03

تم تجميع معلومات تعدد المسيرات بسلسلة من القياسات المتنقلة السائلية للطيران التي أُجريت فوق المحيط الأطلسي وأجزاء من أوروبا. يبين الشكل 4 الاخراجين المتوسط والمعياري المقيسين لفترات خيوه ذي 1,6 GHz بدلالة زاوية الارتفاع لهذه التحليلات. (تم استعمال هوائي ذي ثنائيات أقطاب متقطعة بكسب يبلغ 3,5 dBi لتجمیع المعلومات. حلقت الطائرة عند ارتفاع اسمي يبلغ 10 km وبسرعة اسمية بالنسبة للأرض تبلغ 700 km/h).

الشكل 4

مدة الخبو بدلالة زاوية الارتفاع للاستقطاب الدائري عند 1,6 GHz
(كسب الموائي = 3,5 dBi)؛ معطيات مجمعة فوق الخط الأطلسي وأوروبا الغربية



4.4 قياسات آثار المسيرات المتعددة الناتجة عن الانعكاس على الأرض

يقدم الجدول 2 معلمات انتشار عبر مسيرات متعددة مقيسة خلال تحلقات فوق الأرض؛ تكون تعريف المعلمات مماثلة لتلك التي تطبق على الجدول 1. والإشارات التي تنتشر عبر مسيرات متعددة فوق الأرض كثيرة التغير. ولم يتم تحديد أي تأثير منتظم لزاوية الارتفاع، ربما بسبب طبيعة الأرض شديدة التغير (تم تجميع المعطيات على تربة رطبة وجافة والأراضي السبخة والثلج المبلل والجاف والجليد والبحيرات، إلخ).

الملاحظة 1 - معدل الأخطاء غير القابل للتخفيف؛ يؤدي الخبو الناتج عن تعدد المسيرات في القنوات المتنقلة إلى معدل أخطاء غير قابل للتخفيف لا يمكن تعويضه بزيادات في قدرة الإشارة المباشرة. تظهر المحاكاة أن معدل الأخطاء غير القابل للتخفيف يكون أعلى لقناة ساتلية متنقلة للطيران منه لقناة ساتلية متنقلة برية.

الجدول 2

المعلمات المتعلقة بالانتشار عبر مسارات متعددة فوق الأرض

القيمة النمطية	المدى المقياس	المعلمة
9– 13–	2–18 إلى 3–21	قدرة تعدد المسيرات المقيدة (dB) الاستقطاب الأفقي الاستقطاب العمودي
0,3 1,2	1,2-0,1 3-0,2	تمديد تأخير الانتشار ⁽¹⁾ (μs) قيمة dB 3 قيمة dB 10
600	3 000-150	عرض نطاق الارتباط ⁽²⁾ (kHz) قيمة dB 3
60 200	140-20 500-40	التمدد الدوبلري ⁽¹⁾ (Hz) قيمة dB 3 قيمة dB 10
4	10-1	وقت فك الارتباط ⁽²⁾ (ms) قيمة dB 3

⁽¹⁾ شائي للأطراف.⁽²⁾ أحادي الطرف.

5.4 نموذج مسارات متعددة لطائرة أثناء الاقتراب فوق الأرض وأثناء الهبوط

يجب بحث المسيرات المتعددة ذات التأخير القصير في أنظمة الاتصالات والملاحة للطيران خاصة بالنسبة للإشارات عريضة النطاق. وتنتج الانعكاسات على هيكل الطائرة تداخلات كبيرة. وعلى وجه الخصوص، خلال الاقتراب النهائي وعندما يكون تيسير الاتصالات والاعتمادية وكذلك دقة الملاحة وسلامتها من الأمور الهامة، فإن الانعكاس الأرضي والانعكاس على جسم الطائرة يولدان آثار انتشار واضحة. وعلى الرغم من أن النموذج يستهدف في الأساس التطبيقات الملاحية، فإنه بالطبع يمكن استعماله مع أي إشارة ساتلية.

ومع ذلك، ونتيجة للاستعمال المتوقع الأولي، فإنه يفترض أن يكون الهوائي على قمة مقصورة القيادة (حيث يوضع هوائي الملاحة عادةً). ومن المقرر استعمال النموذج الكامل كمضاهي إحصائي. وحيث إنه من المتوقع أن تكون عروض نطاقات الانعكاسات صغيرة جداً، فإن العملية لن تنتج إحصائيات كافية أثناء زمن الاقتراب البالغ 200 ثانية. ولضاهة خطأ ملاحي صالح إحصائياً، يجب استعمال النموذج لعدد كبير من حالات الاقتراب. ويجب توسيط نتائج المضاهاة لهذه الاقترابات للحصول على الخطأ الملاحي الأدنى والأقصى والمتوسط.

1.5.4 الآثار الفيزيائية

تنقسم ظروف الانتشار عبر مسيرات متعددة لطائرة مستقبلة إلى قسمين رئيسيين:

- هيكل الطائرة؛
- الانعكاس الأرضي.

ويحدث هيكل الطائرة انعكاسات كبيرة من على جسم الطائرة فقط (عندما يكون الهوائي منصوباً على قمة مقصورة القيادة). وينتتج عن هذا الانعكاس ذو التأخير القصير جداً اختلافاً زمنياً صغيراً ويسود القناة.

ولم يتلاحظ وجود انعكاس قوي من الجناح (عندما يكون الهوائي منصوباً على قمة مقصورة القيادة). ويتيح عن الانعكاس الأرضي اختلافاً زمنياً كبيراً ويكون بإزاحة دوبلرية طبقاً لمعدل اقتراب الطائرة من الأرض.

2.5.4 المدى الصالح للنموذج

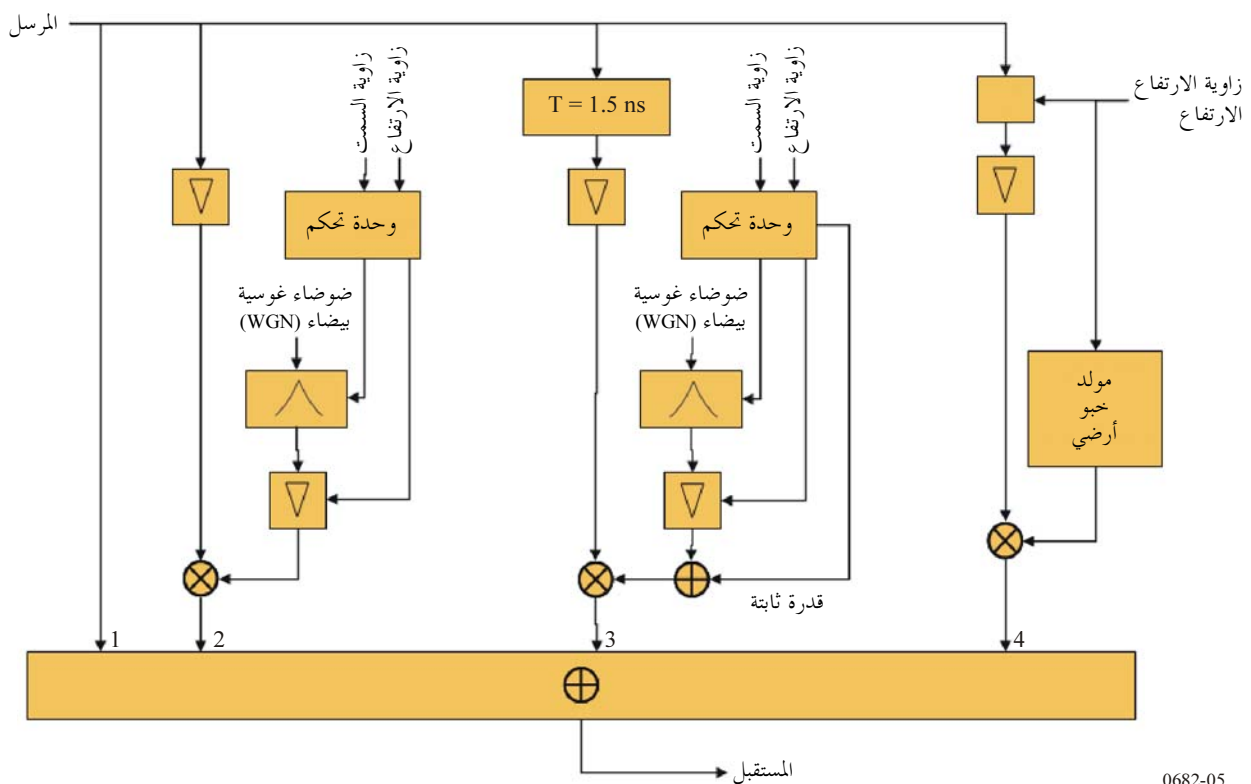
يمكن استعمال النموذج لترددات بين 1 و 3 GHz. ويمكن لسمت السائل أن يتراوح بين 10° و 170° و 190° و 350° . ويمكن لزاوية الارتفاع للسائل أن تتراوح بين 5° و 75° .

3.5.4 النموذج

1.3.4.5 نظرة عامة

الشكل 5

نموذج كامل لقناة للطيران



يبيّن الشكل 5 نموذج كامل للطيران للاقتراب النهائي. ويمثل الفرع الأول (الفرع 1) الإشارة المباشرة يليه الجزء الخاص بالخبو الأملس الذي ينمذج تشكيل خط البصر (الفرع 2). ويكون الفرع الثالث (الفرع 3) من عملية الخبو ذي المسيرات المتعددة لجسم الطائرة والتي يحدث لها تأخير بمقدار 1,5 ns. والفرع الأخير (الفرع 4) هو الرجع الأرضي الذي يتوقف تأخيره على زاوية الارتفاع والارتفاع.

ومعلمات الدخل المتغيرة مع الزمن لهذا النموذج هي:

- زاوية سمت السائل، ($\varphi(t)$)

- زاوية ارتفاع السائل، ($\theta(t)$)

- ارتفاع الطائرة (فوق سطح الأرض، ($h(t)$ ، حيث ترمز t إلى الزمن).

وعلاوة على ذلك يحتاج النموذج إلى معرفة هندسة الطائرة وديناميات الطيران. وتقدم معاملات تجريبية لأنماط الطائرات التالية:

- Vereinigte Flugzeugwerke VFW 614 (ATTAS)
- الایرباس A340، حيث تمثل طائرة صغيرة.

يراعى تأثير زاويي السمت والارتفاع لعمليات الخبو ذي المسيرات المتعددة المبنية في الشكل أعلاه "كوحدة تحكم" من خلال دالة متعددة الحدود مستعملة في المعادلة (10). وفضلاً عن ذلك، فإن تأخير الانعكاس الأرضي دالة في زاوية الارتفاع والارتفاع؛ انظر المعادلة (15).

ولعمليات الخبو والقدرات المتغيرة مع الزمن معلمات دخل لضبط النموذج مع الموقع المختلفة للساتل (زاوياً الارتفاع والسمت). وتعتمد عمليات الخبو المختلفة بشكل كبير على نمط الطائرة.

الجدول 3

معلومات نموذج القناة - نظرة عامة

عرض النطاق الدوبلري (Hz)	القدرة النسبية (dB)	التأخير (ns)	
0	0	0	خط البصر (LoS)
0,1 >	14,2-	0	خبو أملس
0,1 >	14,2-	1,5	جسم الطائرة
20 > (موجّه حسب معدل الاقتراب من الأرض)	25-15 إلى	10-900 (تزايليا)	الأرض

2.3.5.4 المسير المباشر

بالإضافة إلى خط البصر (الفرع 1)، يتأثر هذا المسير بتشكيل قوي (الفرع 2) ذو التوزيع الرئيسي للاتساع. ويتولد عملية الخبو هذه كما هو محدد في المعادلات (8) و(9) و(10) و(11).

3.3.4.5 الانعكاس من الجناح

في حال وضع الموجّي على قمة مقصورة القيادة (وهو ما يعد إلزامياً بالنسبة لهوائيات الملاحة الساتلية)، فإن الإشعاع الوارد ينتشر عبر مدى زاوي كبير. وبالتالي يمكن إهمال القدرة الإجمالية للانعكاس من الجناح (أقل من 35 dB).

وبالنسبة للهوائيات الموضوعة في أماكن أخرى (لأنظمة الاتصالات مثلاً)، لا سيما تلك الموضوعة بين الأجنحة، فإنه يمكن في هذه الحالة توقع مساهمة للانعكاس من الجناح.

4.3.5.4 الانعكاس من جسم الطائرة

لتوليد متواالية زمنية للانعكاس من جسم الطائرة، يلزم معرفة الطيف الخاص به. والنماذج مشقق من خلال عملية تسلسل عشوائي، P_{proc} . ويمكن توليد هذه العملية بترشيح الضوضاء البيضاء المركبة ذات الطيف المعطى بالمعادلة (8)، حيث b_2 و b_3 هما معالماً العملية الأساسية:

$$(8) \quad p_{proc}(\text{dB}) = b_1 + b_2 \cdot e^{b_3 \cdot |f|}$$

بالإضافة إلى العملية الضوئية هذه، تحتوي هذه الإشارة على مركبة متوسطة (DC).

وتبلغ القدرة الإجمالية التي قيست لهذه العملية -14.2 dB والتي تحدد الثابت:

$$(9) \quad b_1 = 14.2 - \text{mean} \quad (\text{dB})$$

وكما تلاحظ آنفًا، يتراوح مدى زاوية ارتفاع المسير الصالح بين 5° و 75° . ويمكن لزاوية السمت أن تتراوح بين 15° إلى 165° ، و 195° إلى 335° على التوالي. ولاشتقاق المتوسط والمعاملين b_2 و b_3 ، تقدم دالة متعددة الحدود ثنائية الأبعاد من الدرجة الرابعة لكل معلمة (المتوسط b_2 و b_3). وعلى سبيل المثال،

$$(10) \quad \text{mean}(\theta, \varphi) = [\theta^4 \ \theta^3 \ \theta^2 \ \theta \ 1] \cdot A_{\text{mean}} \cdot \begin{bmatrix} \varphi^4 \\ \varphi^3 \\ \varphi^2 \\ \varphi \\ 1 \end{bmatrix}$$

يعطى القيمة المتوسطة كدالة في زاوية الارتفاع θ وزاوية السمت φ ، حيث A_{mean} عبارة عن مصفوفة 5×5 للمعاملات متعددة الحدود. ويحسب المعاملان b_2 و b_3 على نفس الوثيرة.

وبالنسبة لمثالي الطائرتين ATTAS (A340) والإيرباص A340، ترد هذه المصفوفات على التوالي كما يلي:

$$A_{mean,ATTAS} =$$

$$\begin{bmatrix} -2.0057e-12 & 5.0499e-10 & -4.6114e-8 & 1.8053e-6 & -2.4773e-5 \\ 2.8598e-10 & -7.4259e-8 & 7.0553e-6 & -2.9116e-4 & 0.0043 \\ -1.1568e-8 & 3.2474e-6 & -3.3846e-4 & 0.0156 & -0.2698 \\ 3.8681e-8 & -2.2536e-5 & 0.0038 & -0.2512 & 6.3140 \\ 1.9434e-6 & -3.5747e-4 & 0.0133 & 0.8133 & -28.1329 \end{bmatrix}$$

$$A_{b3,ATTAS} =$$

$$\begin{bmatrix} -1.8398e-12 & 4.2182e-10 & -3.3813e-8 & 1.0855e-6 & -1.0875e-5 \\ 2.6665e-10 & -6.0897e-8 & 4.8490e-8 & -1.5346e-4 & 0.0015 \\ -1.2870e-8 & 2.9171e-6 & -2.2947e-4 & 0.0071 & -0.0629 \\ 2.3542e-7 & -5.2520e-5 & 0.0040 & -0.1193 & 0.9153 \\ 1.2058e-6 & 2.5797e-4 & -0.0187 & 0.5027 & -4.1128 \end{bmatrix}$$

$$A_{b2,ATTAS} =$$

$$\begin{bmatrix} -3.9148e-11 & 8.8672e-9 & -7.0048e-7 & 2.2069e-5 & -2.1492e-4 \\ 6.0699e-9 & -1.3708e-6 & 1.0784e-4 & -0.0034 & 0.0322 \\ -3.2203e-7 & 7.2344e-5 & -0.0057 & 0.1747 & -1.6206 \\ 6.7649e-6 & -0.0015 & 0.1162 & -3.5328 & 31.6814 \\ -4.4741e-5 & 0.0098 & -0.7383 & 21.9981 & -142.3524 \end{bmatrix}$$

(11)

$$A_{means,A340} =$$

$$\begin{bmatrix} -2.6220e-12 & 6.0886e-10 & -5.0686e-8 & 1.8074e-6 & -2.3633e-5 \\ 4.3848e-10 & -1.0231e-7 & 8.6113e-6 & -3.1465e-4 & 0.0044 \\ -2.3577e-8 & 5.5538e-6 & -4.7815e-4 & 0.0184 & -0.2872 \\ 3.9552e-7 & -9.2657e-5 & 0.0082 & -0.3431 & 6.9937 \\ -1.5225e-6 & 3.3690e-4 & -0.0312 & 1.7110 & -32.8066 \end{bmatrix}$$

$$A_{b3,A340} =$$

$$\begin{bmatrix} -1.2021e-12 & 2.7780e-10 & -2.2626e-8 & 7.4413e-7 & -7.5120e-6 \\ 1.7647e-10 & -4.0725e-8 & 3.3131e-6 & -1.0855e-4 & 0.0011 \\ -8.6470e-9 & 1.9871e-6 & -1.6099e-4 & 0.0052 & -0.0488 \\ 1.6123e-7 & -3.6656e-5 & 0.0029 & -0.0946 & 0.8204 \\ -8.5647e-7 & 1.8942e-4 & -0.0149 & 0.4826 & -5.5011 \end{bmatrix}$$

$$A_{b2,A340} =$$

$$\begin{bmatrix} -3.1880e-11 & 7.2724e-9 & -5.8454e-7 & 1.9069e-5 & -1.9707e-4 \\ 4.7229e-9 & -1.0775e-6 & 8.6761e-5 & -0.0028 & 0.0293 \\ -2.3471e-7 & 5.3437e-5 & -0.0043 & 0.1413 & -1.4541 \\ 4.4756e-6 & -0.0010 & 0.0812 & -2.6731 & 27.5448 \\ -2.5361e-5 & 0.0056 & -0.4459 & 14.8917 & -109.1083 \end{bmatrix}$$

5.3.5.4 الانعكاس الأرضي

تحدد إزاحة دوبلرية للانعكاس الأرضي بواسطة معدل اقتراب الطائرة من الأرض (السرعة الرأسية)، ($v_{vert}(t)$). ويحصل على التخالف الدوبلري للانعكاس الأرضي من العلاقة:

$$(12) \quad f_{ground}(t) = \frac{v_{vert}(t)}{\lambda}$$

حيث λ هي الطول الموجي. ويمثل الطيف الدوبلري للانعكاس الأرضي حول التردد المتوسط المتحصل عليه من المعادلة (12) تنبلياً جيداً بواسطة توزيع غوس مقيس:

$$(13) \quad P_{Gr(\text{dB})} = P_{g(\text{dB})} + 20 \log_{10} \left(\frac{1}{\sigma \sqrt{2\pi}} e^{-\frac{f^2}{2\sigma^2}} \right)$$

وترمز P_g لقدرة الانعكاس الأرضي المتحصل عليها بواسطة نموذج ماركوف، حيث تبين تجربياً أن الانحراف يكون كالتالي:

$$(14) \quad \sigma = 2.92 \text{ Hz}$$

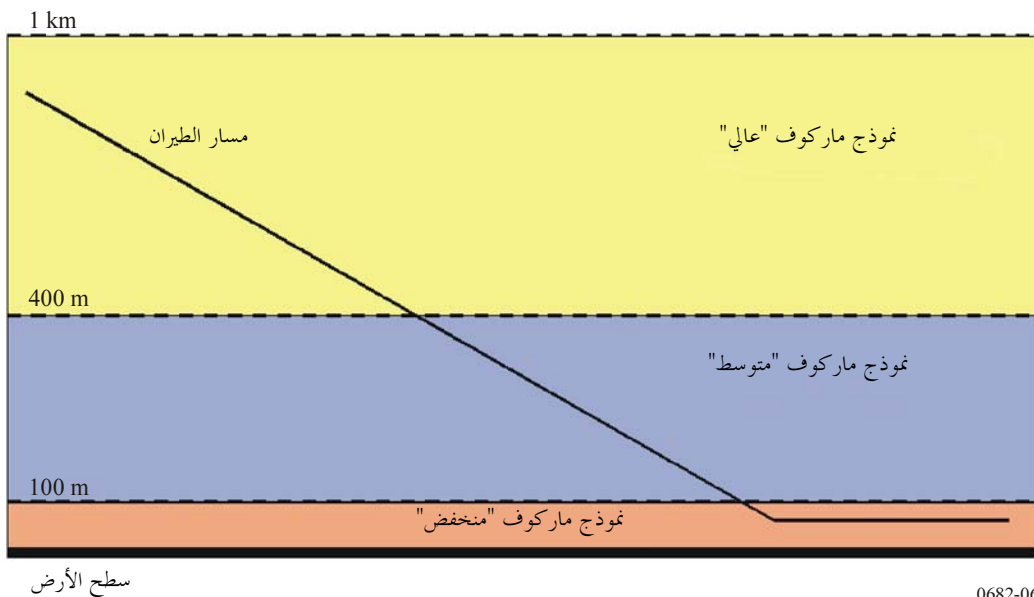
ولنمذجة الانعكاس الأرضي، يقسم الاقتراب النهائي إلى ثلاث مناطق ارتفاع مختلفة (ارتفاع عالي ومتوسط ومنخفض). وتحدد خصائص الانعكاس الأرضي في كل منطقة من هذه المناطق الثلاث بواسطة نموذج ماركوف.

الجدول 4

مناطق الارتفاع لنموذج ماركوف

إلى (m)	من (m)	المستوى
400	1 000	"مرتفع"
100	400	"متوسط"
0	100	"منخفض"

الشكل 6
مناطق الارتفاع للنموذج الأرضي



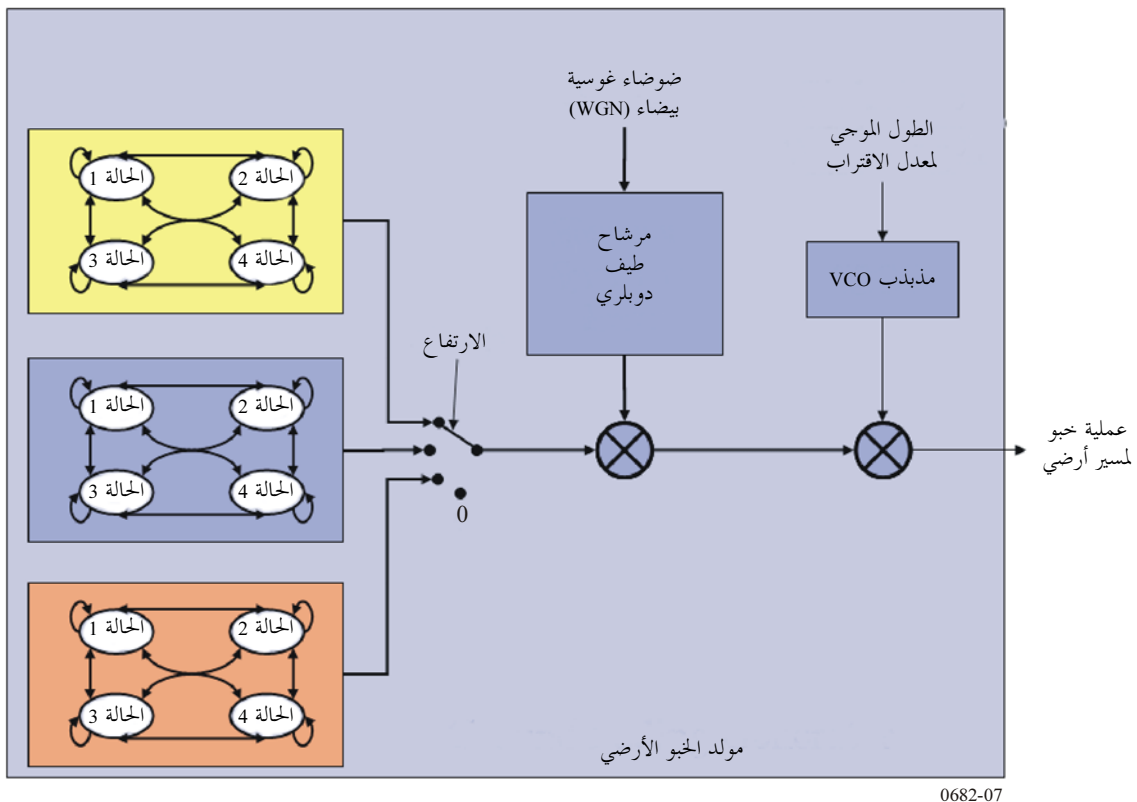
0682-06

الجدول 5
حالات نموذج ماركوف للخبأ الأرضي

القدرة (dB)	الحالة
15–	1
19–	2
23–	3
25– >	⁽¹⁾ 4

⁽¹⁾ لا يوجد انعكاس أرضي.

الشكل 7
تحقيق وحدة مولد الخبو الأرضي



0682-07

يتحصل على احتمالات التحول لماركوف من بيانات القياسات الكمية. وتحدد مصفوفة التحول P , حيث $P_{x,y}$ عبارة عن احتمال التغير من الحالة x إلى الحالة y , لكل منطقة ارتفاع على حدة.

وتتولد عملية الخبو الأرضي بواسطة نموذج لماركوف يعتمد على الارتفاع لتردد اعتيان يبلغ 25,4 Hz. ويلاحظ أن احتمالات التحول هذه تسرى فقط بالنسبة لهذا التردد. ويرد في الجدول 4 ارتفاعات التحول كما تبين في الشكل 6.

وتعطى حالات قدرة الخرج للنموذج في الجدول 5 وتبين في الشكل 7.

وتشتق مصفوفات احتمالات التحول التالية من القياسات،

$$(15) \quad \begin{aligned} P_{400-1500} &= \begin{bmatrix} 0.9866 & 0.0087 & 0.0047 & 0 \\ 0.6087 & 0.3043 & 0.0870 & 0 \\ 0.2143 & 0.3571 & 0.4286 & 0 \\ 0.3333 & 0.3333 & 0.3334 & 0 \end{bmatrix} \\ P_{100-400} &= \begin{bmatrix} 0.9842 & 0.0130 & 0.0028 & 0 \\ 0.6667 & 0.2222 & 0.0889 & 0.0222 \\ 0.0667 & 0.1167 & 0.5000 & 0.3166 \\ 0 & 0 & 0.3279 & 0.6721 \end{bmatrix} \\ P_{10-100} &= \begin{bmatrix} 0.9645 & 0.0310 & 0.0045 & 0 \\ 0.7308 & 0.1538 & 0.1154 & 0 \\ 0.6250 & 0.1250 & 0.2500 & 0 \\ 0.3333 & 0.3333 & 0.3334 & 0 \end{bmatrix} \\ P_{0-10} &= \begin{bmatrix} 1 & 0 & 0 & 0 \\ 1 & 0 & 0 & 0 \\ 1 & 0 & 0 & 0 \\ 1 & 0 & 0 & 0 \end{bmatrix} \end{aligned}$$

حيث P_{x-y} ترمز إلى احتمال التحول في منطقة الارتفاع حيث $x \geq h(t) \geq y$.

ويلاحظ أن نموذج ماركوف هذا يشرح عملية هبوط في مطار غراتس في النمسا. وتغطي هذه المنطقة الغابات والأراضي الخضراء وبعض الشوارع المترفرفة. وقد تؤثر الظروف الجوية والبيئة وهندسة الطيران والعديد من المعلمات الأخرى على خصائص الرجع الأرضي. لذا يجب أن ينظر إلى هذه الأرقام على اعتبار أنها معلمات تخضع للتتعديل من قبل المستعمل في حال ما تقرر استعمالها لأنماط مناطق أخرى. ويتوقع أن يتبع بوجه خاص عن الاقتراب فوق مياه (بحار) أو مناطق ذات قنوات مائية عديدة سلوكاً مغايراً لذلك.

ويمكن بسهولة حساب تأخير الانعكاس الأرضي بدالة زاوية ارتفاع المسير بافتراض بيئة مستوية حول المطار بالعلاقة

$$(16) \quad \tau_{ground}(t) = \frac{2 \cdot h(t) \cdot \sin(\theta)}{c}$$

حيث c تساوي سرعة الضوء.

4.5.4 تحميل النموذج

يوجد تنفيذ Matlab للنموذج للتحميل المخاني من موقع الويب التالي: <http://www.kn-s.dlr.de/satnav/#Aeronautical>